

上式において X の係数を方列 [6] で表わせばこの方列は Maxwell の相反法則により 対称 方列である。すなわち

$$\delta_{ab} = \delta_{ba}, \quad \delta_{ea} = \delta_{ac}, \quad \dots, \quad \delta_{ji} = \delta_{kj} \quad \dots \quad (2)$$

次に n 個の不確定値 X_A, X_B, \dots, X_N を適當に選び次のような関係式が成り立つものとする。

$$\left. \begin{aligned} X_a &= X_A f_{aa} + X_B f_{ab} + \dots + X_N f_{an} \\ X_b &= X_A f_{ba} + X_B f_{bb} + \dots + X_N f_{bn} \\ X_n &= X_A f_{na} + X_B f_{nb} + \dots + X_N f_{nn} \end{aligned} \right\} \quad (3)$$

上式の X_A, X_B, \dots, X_N の係数を方列 [f] で表わすことにする。式(3)を式(1)に代入したときの X_A, X_B, \dots, X_N の係数を方列 [g] で表わせば

この $[z]$ にある係数を乗じて対称方列を作つた場合に、その方列の対角元素を 0 でないものとし、任意の j, k 元素をすべて 0 ならしめることができれば

$$X_A = \frac{\delta_{iA}}{\delta_{AA}}, X_B = \frac{\delta_{iB}}{\delta_{BB}}, \dots, X_N = \frac{\delta_{iN}}{\delta_{NN}} \dots \quad (5)$$

によって表わすことができる。

さて、 $[z]$ を対称方列に直すには、 $[y]$ の前に $[t]$ の共やく方列 $[t^*]$ を乗ずればよい。すなわち

式(6)のjk元素を全部0とおくことにより $X_A, X_B, X_C, \dots, X_N$ と $X_a, X_b, X_c, \dots, X_n$ の関係を決定することができて静定主系が定まることになる。この場合条件式の数は、 $n(n-1)/2$ 個できるので、fの中にもう含まれる未知量の数も、 $n(n-1)/2$ 個にしなければならない。例えば2次不静定のときは条件式1個で、fの中にもう含まれる未知量としては座標x, y又は方向角 α のうち1個を選べばよく、3次不静定のときは条件式3個で、x, y及び α の3個を未知量に選べばよい。なお又高次不静定のときは式(3)の[f]として

$$[f] = \begin{bmatrix} 1 & fab & fac & " & " & fan \\ 0 & 1 & fbc & " & " & fbn \\ 0 & 0 & 1 & " & " & " \\ 0 & 0 & 0 & 0 & \dots & 1 \end{bmatrix} \quad \dots \quad (7)$$

を選べば、 f の数が $n(n-1)/2$ となつて條件式の数と一致するのでこれらを決定することができる。式(7)は一般高次の場合であるから、2次・3次不静定の場合にももちろん適用される。

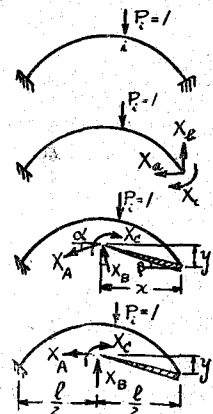
今一例として図のような両端固定左右対称の3次不静定構造物に対する静定主系を決定すれば

$$\left. \begin{aligned} x &= -\frac{\varepsilon_{bc}}{\varepsilon_{ac}} = -\frac{l}{2} \\ y &= \frac{\varepsilon_{ac}}{\varepsilon_{cc}} \\ \alpha &= 0 \end{aligned} \right\} \quad (8)$$

となる

本解法は充腹構造たると骨組構造たるとを問わずすべてこの構造物に對して適用されるもので、式(8)は兩端固定左右對稱のラーメン・アーチ・トラスのみならずフィーレンデールアーチ等にも適用される式である。

本研究は昭和25年度文部省科学研究費による研究の一部で、詳細は山梨大学工学部研究報告第2号に登載の通りである。



17. 等角寫像の近似的な方法 (20分)

正員 名古屋工業大學 岡 林 稔

流体力學や熱傳導、弾性力学等では等角寫像がかなり重要な役割を持っている。しかし、任意の閉面分を例えれば直線境界の半無限平面に等角寫像する寫像函数を求めるることはまず不可能に近い、多角形を半平面に寫像する

には有名な Schwarz-Christoffel の定理があるけれども、實際にこの定理を使って寫像函数を計算することもまたなかなか容易ではない。よつて、任意の圖形を近似的にでも半平面に寫像することができれば、かなり利用價値があると思われるし、近似的にならそれは可能があるので、それを具體的な例題について説明する。

18. 多變數函数の内挿とその工學への應用 (20分)

正員 芝浦工業大學 谷本勉之助

獨立變數が數多くあるときの各種の内挿式を導き、これを工學の色々な方面に應用したいと考えている。解析的に積分の困難な多重數値積分の一般方式とか、偏微分方程式の數値解法にも應用できる見込みがある。日高 Collatz の數値微分法及び階差方程式は、單に $f(x, y)$ の Stirling 型内挿式から導かれる特殊な場合である。

福島縣猪苗代湖・秋田縣田澤湖の靜振の問題に應用してみて、本多光太郎博士の實測値とよく一致する結果がえられた。計算手間はいずれも正味 3 回くらいのものであつた。

文部省科學研究費の支給を感謝する。

19. 應力の轉移 (20分)

正員 東大生産技術研究所 久保慶三郎

圓のような柱（鐵筋とコンクリートとの間には全然附着がないものと假定する）に荷重 P が載つてゐるとして鐵筋及びコンクリートの斷面積をそれぞれ A_s , A_c , ヤング係数を E_s , E_c とすると、鐵筋及びコンクリートに作用する力 P_s , P_c は、簡単に次式で求められる。

$$P_s = \frac{A_s E_s}{A_c E_c + A_s E_s} P, \quad P_c = \frac{A_c E_c}{A_c E_c + A_s E_s} P \quad \dots \dots \dots (1)$$

しかしコンクリートにはクリープの性質があるために一定の載荷 P に対する時間 t までに荷重分布が成立しているわけではなく、 P_s は次第に大きくなり、逆に P_c は小さくなる。

この場合にクリープの時間に対する特性曲線を詳細にしておく必要があり、著者は、まずクリープと應力ひずみ曲線との間になんらかの相関關係が成立するという假定から出發して、まず Lorman の提案したクリープ時間の式を検討し、これがある矛盾を含んでいることを指摘し、次にこの式を訂正して著者の式として次式を提案した。

$$\epsilon = \frac{mt}{n+t} \sigma^\alpha \dots \dots \dots (2)$$

ここに ϵ はクリープによるひずみを示し、 m , n はある常数、 α は 1 より大きい常数を示している。

この式 (2) から荷重速度を一定にした場合の應力ひずみ曲線は實驗となんらの矛盾を生じないばかりでなく、定量的關係も崩されるように考えられる。もつともこの定量的關係についての實驗結果が非常に少なく、この關係について理論と實驗が一致していることが既に證明されたわけではない。

この著者の式を用いて圖の問題を解いた。 σ_{c0} を時間 $t=0$ のときのコンクリートの内部應力、 σ_c を時間 t におけるコンクリート中の應力とすると

$$\sigma_c = \sigma_{c0} - \frac{mn}{K} \int_0^t \frac{\sigma_c^\alpha(\tau)}{(n+t-\tau)^2} d\tau \dots \dots \dots (3)$$

となる。この式を數値計算した結果から、鐵筋の斷面積が大きいと σ_c が早く小さくなり、また n が小さいと σ_c の減少も早くなることが判明した。

